
การจำลองคลื่นไมโครเวฟแบบ 3 มิติในห้องคลื่นมัลติโหมดด้วย Meep

3D Simulations of Microwave Propagation in Multimode Cavity by Meep

อภินันท์ ปลดแก้ว* และ หมุดตอเล็บ หนิสอ
ห้องปฏิบัติการวิจัยเทคโนโลยีพลาสม่าเพื่อการประยุกต์ทางสิกรรม มหาวิทยาลัยวลัยลักษณ์
Apinun Plodkeaw* and Mudtorlep Nisoa

Plasma technology for agricultural applications research laboratory, School of Science, Walailak University.

บทคัดย่อ

Meep หรือ MEEP (MIT electromagnetic equation propagation) เป็นเฟรชอฟแวร์ ใช้ระเบียบวิธีเชิงตัวเลขผลต่างสี่บันเนื่อง เชิงเวลา (Finite Difference Time Domain: FDTD) ถูกนำมาใช้ในการจำลองการแพร่กระจายของคลื่นแม่เหล็กไฟฟ้า โดยใช้อัลกอริทึมของยี (Yee Algorithm) การติดตั้งและใช้งานอยู่บนระบบปฏิบัติการลีนักซ์หรือ Osx ในศึกษาครั้งนี้ Meep ถูกนำไปใช้ในการจำลองคลื่นไมโครเวฟในห้องคลื่นแบบมัลติโหมด (Multimode Cavity) เพื่อศึกษาการแพร่กระจายของคลื่นที่ออกจากแหล่งกำเนิดภายในท่อ นำคลื่นไปสู่ห้องคลื่นแบบมัลติโหมด จนกระทั่งเกิดเป็นคลื่นนิ่งภายในห้องคลื่น เปรียบเทียบผลที่ได้จากการจำลองด้วย COMSOL ร่วมกับวิเคราะห์ผลที่ได้จากการจำลองด้วย Meep COMSOL และการใช้วิเคราะห์สอดคล้องกัน ดังนั้นผลที่ได้ยืนยันได้ว่า Meep ให้ผลการจำลองที่ถูกต้อง น่าเชื่อถือ

คำสำคัญ : Meep, ผลต่างสี่บันเนื่องเชิงเวลา, ห้องคลื่นมัลติโหมด, การแพร่กระจายของคลื่นไมโครเวฟ

Abstract

Meep or MEEP (MIT electromagnetic equation propagation) is a FDTD (Finite Difference Time Domain) software for simulation of electromagnetic wave propagation by Yee algorithm. It is installed, used on the Linux operating system or Osx. The aim of this work is to understand the structure of Meep and to use it for simulation of microwave propagation in multimode cavity of microwave oven. The results of the simulation by Meep were compared by those done by COMSOL and analytical analysis. Their results were in agreement. The Meep is confirmed to be a powerful software for application in time-domain simulations of microwave propagation.

Keyword : Meep, FDTD, Multimode Cavity, Microwave Propagation

*Corresponding author. E-mail: apinun.plod@gmail.com

บทนำ

ปัจจุบันนี้มีการประยุกต์ใช้คลื่นแม่เหล็กไฟฟ้าในงานด้านต่างๆ เช่น การสื่อสาร การแพทย์ และการแปรรูปอาหาร เป็นต้น ซึ่งการประยุกต์แต่ละอย่างจะใช้คลื่นแม่เหล็กไฟฟ้าที่มีความถี่แตกต่างกัน เช่น ทางการแพทย์ใช้รังสีเอ็คซ์ (Geva, 2006) และการแปรรูปอาหารใช้ความถี่ย่านไมโครเวฟ (Idris, Khalid, & Omar, 2004) เป็นต้น การใช้งานหรือพัฒนาเครื่องมือหรืออุปกรณ์ต่างๆ เหล่านี้ ความเข้มของสนามไฟฟ้าหรือความเข้มของสนามแม่เหล็กเป็นสิ่งจำเป็นที่ทำให้การใช้งานหรือการพัฒนาเครื่องมือต่างๆ เป็นไปอย่างมีประสิทธิภาพ โดยทั่วไปวิธีการที่ใช้ในการคำนวณหาความเข้มของสนามไฟฟ้าหรือความเข้มของสนามแม่เหล็กสามารถทำได้ 2 วิธี คือวิธีเคราะห์ และวิธีเชิงตัวเลข (Numerical Method) สำหรับปัญหาที่ไม่ซับซ้อนสามารถใช้วิธีการวิเคราะห์ได้ แต่เมื่อปัญหามีขนาดใหญ่และซับซ้อนมากขึ้น การใช้วิธีเชิงตัวเลขจะสะดวกและง่ายกว่า ในการหาผลเฉลยด้วยระเบียบวิธีเชิงตัวเลขของคลื่นแม่เหล็กไฟฟ้านั้น วิธีที่ใช้กันแพร่หลายได้แก่ MoM (Method of Moment) ไฟแนนเตอลิเมนต์ (Finite Element Method:FEM) วิธีเชิงตัวเลขผลต่างสืบเนื่องเชิงเวลา ฯลฯ (Reader, 2000; Taflove, 2000) แต่ละวิธีมีข้อดีและข้อด้อยที่แตกต่างกัน เช่น FEM สามารถวิเคราะห์ปัญหาที่มีขอบเขตของโดเมนที่มีรูปทรงซับซ้อนหรือไม่สมมาตรได้อย่างมีประสิทธิภาพ วิธีเชิงตัวเลขผลต่างสืบเนื่องเชิงเวลาบนนี้มีการพัฒนาอัลกอริทึมที่หาผลเฉลยได้จากการสมการแมกнетิกโดยตรง มีประสิทธิภาพสูง แม่นยำและเที่ยงตรง และง่ายต่อการประมวลผลแบบขนาดนานและจะมีความแม่นยำสูงเมื่อโดเมนเป็นรูปทรงสี่เหลี่ยม แต่มีข้อจำกัดสำหรับโดเมนที่เป็นรูปทรงอื่นๆ เช่นรูปร่างโค้ง (ผุดงศักดิ์ รัตนเดโช, 2551)

Meep เป็นซอฟแวร์ที่ใช้วิธีเชิงตัวเลขผลต่างสืบเนื่องเชิงเวลา โค้ดโปรแกรมที่อยู่ภายใต้ Meep ได้รับการพัฒนามากกว่า 15 ปี และเริ่มใช้เป็นซอฟแวร์ในปี ค.ศ. 2006 โดยมีการอ้างถึงมากกว่า 100 วารสาร และมีผู้ดาวน์โหลดมากกว่า 10,000 ครั้ง มีความยืดหยุ่นในการทำงาน สามารถจำลองปัญหา 1D 2D 3D และทรงกรรਬอกรูปทั้งประมวลผลแบบขนาด (Oskooi et al., 2010; Steven G. Johnson, 2009b) แสดงผลเป็นกราฟฟิก มีความยืดหยุ่นด้านภาษาที่ใช้พัฒนาโปรแกรม ผลลัพธ์ที่ได้จาก Meep นำไปวิเคราะห์ด้วยโปรแกรมอื่นๆ ได้ เช่น Matlab เป็นต้น Meep ถูกนำไปใช้งานอย่างแพร่หลาย เช่น ใช้ในการศึกษาการแพร่กระจายของรังสีแม่เหล็กไฟฟ้าที่ปล่อยออกมายากบางส่วน ในวัสดุชุมนุมที่แรงดันสูง (A. Bojovschi, 2010)

การใช้งาน Meep อย่างมีประสิทธิภาพนักจากมีพื้นฐานความรู้ของคลื่นแม่เหล็กไฟฟ้า จะต้องมีพื้นฐานการเขียนโปรแกรมภาษาใดภาษาหนึ่งดังที่กล่าวไว้ข้างต้นด้วย ในงานนี้จะอธิบายโครงสร้างโดยภาพรวมและขั้นตอนการใช้งาน Meep และประยุกต์ใช้ในการศึกษาการกระจายตัวของคลื่นไมโครเวฟใน 3 มิติในห้องคลื่นแบบมัลติโหมดของตู้ไมโครเวฟ (Microwave oven) นำผลการคำนวณด้วย Meep เปรียบเทียบกับผลที่ได้จากการวิเคราะห์ด้วยทฤษฎีคลื่นแม่เหล็กไฟฟ้า และเปรียบเทียบกับผลที่ได้จากการคำนวณด้วย COMSOL ซึ่งเป็นซอฟแวร์ในเชิงพาณิชย์ที่ได้รับการยอมรับในระดับสากล

คุณสมบัติของ Meep

1. Meep และลักษณะเด่นของ Meep

Meep หรือ MEEP ย่อมาจาก MIT Electromagnetic Equation Propagation (Steven G. Johnson, 2009a) เป็นซอฟแวร์ในการจำลองคลื่นแม่เหล็กไฟฟ้า ได้รับการพัฒนาโดยทีมวิจัยของ MIT โดยใช้วิธีผลต่างสืบเนื่องเชิงเวลาและใช้หลักการแบ่งกริดของโดเมนตามกริดยี (Yee's Grid) (Oskooi, et al., 2010) Kane Yee ได้พัฒนาหลักการแบ่งกริดแบบสองมิติขึ้นในปี ค.ศ. 1966 (Kane, 1966) ต่อมา Allen Taflove พัฒนาให้สามารถใช้ได้กับระบบพิกัดฉากรูปแบบสามมิติ (Taflove, 2000) ซึ่งทำให้มีความสมบูรณ์มากขึ้น Meep ทำงานบนระบบปฏิบัติการลีนูกซ์หรือระบบปฏิบัติการ OS X ซึ่งมีการติดตั้ง Library ต่างๆ เรียบร้อยแล้ว สำหรับโครงสร้างหลักของ Meep ถูกพัฒนาโดยใช้ภาษา C++ ซึ่งเป็นภาษาระดับต่ำ ต่อมาเพื่อให้ใช้งานได้สะดวกขึ้น ทางทีมวิจัยของ MIT ได้พัฒนาการเขียนแบบสคริปต์โดยใช้ภาษา Scheme ซึ่งเป็นภาษาระดับสูงขึ้น นอกจากนี้สามารถพัฒนา Meep ได้ด้วยภาษา Python ซึ่งเป็นอีกทางเลือกหนึ่งในการใช้งาน Meep

2. การหาผลเฉลยของสนามแม่เหล็กไฟฟ้าของ Meep

Meep ใช้วิธีผลต่างสืบเนื่องเชิงเวลาบนพื้นฐานของกริดยีในการหาผลเฉลยของสนามแม่เหล็กไฟฟ้า โดยเริ่มจากการเขียนสมการของแมกเนติกฟิลด์ในรูปสมการเชิงอนุพันธ์ แปลงจากสมการเชิงอนุพันธ์ให้กับลายเป็นสมการพีชคณิตด้วยวิธีการประมาณค่าผลต่างสืบเนื่องแบบกี่กลาก (Central Difference) จากนั้นก็ประยุกต์เข้ากับอัลกอริทึมของยีเพื่อหาผลเฉลยดังกล่าว ซึ่งมีรายละเอียดดังนี้

2.1 ชุดสมการของการใช้วิธีผลต่างสืบเนื่องเชิงเวลา

ในการหาผลเฉลยจากชุดสมการผลต่างสืบเนื่องเชิงเวลา

ซึ่งประกอบไปด้วย สมการเคิร์ลของแมกไวล์ส (Maxwell's curl equations) การประมาณค่าผลต่างสีบเนื่องแบบกี่กลาก (Central Difference) เชลล์ยี (Yee's cell) และการประมาณค่าผลต่างสีบเนื่องแบบกี่กลากร่วมกับเชลล์ยี

2.1.1 ชุดสมการเคิร์ลของแมกไวล์ส

พิจารณาคลื่นแม่เหล็กไฟฟ้าในตัวกลากที่มีเนื้อเดียวกัน (Homogeneous) ไอโซทรอปิก (Isotropic) และเป็นเชิงเส้น (Linear) จากสมการเคิร์ลของแมกไวล์สซึ่งอยู่ในรูปปริมาณมาโครสโคปิก (Macroscopic) ของกระแสไฟฟ้า ตามสมการที่ (1) และ (2) (Oskooi, et al., 2010)

$$\frac{\partial \vec{B}}{\partial t} = -\nabla \times \vec{E} - \vec{J}_B \quad (1)$$

$$\frac{\partial \vec{D}}{\partial t} = \nabla \times \vec{H} - \vec{J} \quad (2)$$

โดยที่ $\vec{B} = \mu \vec{H}$, $\vec{D} = \epsilon \vec{E}$ และ $\vec{J} = \sigma \vec{E}$, เมื่อ \vec{E} คือ สนามไฟฟ้า, \vec{D} คือ การกระแสจัดทางไฟฟ้า, \vec{H} คือ ความเข้มของสนามแม่เหล็ก, \vec{B} คือ การกระแสจัดทางแม่เหล็ก, \vec{J}_B คือ ความหนาแน่นกระแสแม่เหล็ก, \vec{J} คือ ความหนาแน่นกระแสไฟฟ้า, ϵ คือ สpatial ของทางไฟฟ้าของตัวกลาก, μ คือ ความชาบชีมได้ทางแม่เหล็กของตัวกลากและ σ คือ ค่าการนำไฟฟ้า จากสมการที่ (1) และ (2) พิจารณาในกรณีที่ตัวกลากไม่มีกระแสแม่เหล็ก ($\vec{J}_B = 0$) เอียงใหม่ให้อยู่ในองค์ประกอบของสเกลาร์ของแต่ละสนามในระบบพิกัด笛卡尔สามมิติ จะได้

$$\frac{\partial H_x}{\partial t} = \frac{1}{\mu} \left[\frac{\partial E_y}{\partial z} - \frac{\partial E_z}{\partial y} \right] \quad (3.1)$$

$$\frac{\partial H_z}{\partial t} = \frac{1}{\mu} \left[\frac{\partial E_x}{\partial y} - \frac{\partial E_y}{\partial x} \right] \quad (3.2)$$

$$\frac{\partial E_y}{\partial t} = \frac{1}{\epsilon} \left[\frac{\partial H_x}{\partial z} - \frac{\partial H_z}{\partial x} \right] \quad (3.3)$$

$$\frac{\partial H_y}{\partial t} = \frac{1}{\mu} \left[\frac{\partial E_z}{\partial x} - \frac{\partial E_x}{\partial z} \right] \quad (3.4)$$

$$\frac{\partial E_x}{\partial t} = \frac{1}{\epsilon} \left[\frac{\partial H_z}{\partial y} - \frac{\partial H_y}{\partial z} - J_x \right] \quad (3.5)$$

$$\frac{\partial E_z}{\partial t} = \frac{1}{\epsilon} \left[\frac{\partial H_y}{\partial x} - \frac{\partial H_x}{\partial y} - J_z \right] \quad (3.6)$$

2.1.2 การประมาณค่าอนุพันธ์โดยวิธีผลต่างสีบเนื่องแบบกี่กลาก

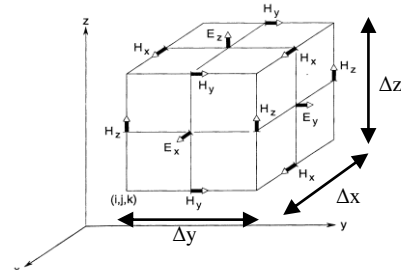
วิธีผลต่างสีบเนื่องเชิงเวลาจะใช้วิธีผลต่างสีบเนื่องแบบกี่กลาก ในการประมาณค่าของอนุพันธ์เทียบกับสเปชและเวลาซึ่ง

ปรากฏอยู่ในสมการของแมกไวล์สตามกฎของฟาราเดียและแอมเปอร์ เมื่อใช้อัอนุกรรมเทเลอร์ร์ระจากระดับของฟังก์ชัน $f(x)$ รอบจุด x_i จะสามารถหาอนุพันธ์ของฟังก์ชัน $f(x)$ ในรูปของผลต่างสีบเนื่องแบบกี่กลากได้ดังสมการที่ (6) และมีค่าความแม่นยำอันดับสอง (Second-order Accuracy) หรือ $O(\Delta x)^2$ (Reader, 2000)

$$\frac{df(x_i)}{dx} = \frac{f(x_i + \Delta x) - f(x_i - \Delta x)}{2\Delta x} + O(\Delta x)^2 \quad (4)$$

2.1.3 เชลล์ยี

การหาผลเฉลยของสนามแม่เหล็กไฟฟ้าได้ใช้อัลกอริทึมของยี โดยใช้เชลล์ยีซึ่งมีลักษณะเป็นรูปลูกบาศก์ และใช้ระบบพิกัด笛卡尔สามมิติอ้างอิงดังภาพที่ 1



ภาพที่ 1 เชลล์ยี (Taftlove, 2000)

จากภาพที่ 1 แสดงเชลล์ของยี (Yee cell) มีขนาดความยาวแต่ละด้าน Δx , Δy และ Δz สำหรับสนามไฟฟ้า \vec{E} และสนามแม่เหล็ก \vec{H} สามารถแสดงอยู่ในรูปสเกลลาร์ขององค์ประกอบของสนามไฟฟ้า (E_x , E_y , E_z) และสนามแม่เหล็ก (H_x , H_y , H_z) ตามลำดับ โดยท่ององค์ประกอบของสนามแม่เหล็ก \vec{H} จะอยู่ที่ตำแหน่งกี่กลากที่ขอบ และขนาดกับขอบของเชลล์ยี ขณะเดียวกันองค์ประกอบของสนามไฟฟ้า \vec{E} จะอยู่ที่กี่กลากของผิวน้ำ และตั้งฉากกับผิวน้ำของเชลล์ยีนอกจากนี้องค์ประกอบของสนามไฟฟ้า \vec{H} และ \vec{E} วางอยู่ห่างกันเป็นครึ่งหนึ่งของสเปช คือ $\Delta x/2$, $\Delta y/2$ และ $\Delta z/2$ ตัวอย่างเช่น องค์ประกอบ H_x วางอยู่ห่างจาก E_x เป็นระยะ $\Delta x/2$, $\Delta y/2$ และ $\Delta z/2$ สำหรับ H_y และ H_z เป็นไปในทำนองเดียวกัน ลักษณะการวางแบบนี้เป็นการเชื่อมกันตามกฎของฟาราเดียและแอมเปอร์เมื่อพิจารณาทุกๆ องค์ประกอบของ \vec{E} แต่ละตัวจะถูกล้อมรอบด้วยองค์ประกอบของ \vec{H} และเช่นเดียวกันถ้ามีเชลล์อื่นเพิ่มเข้ามาอีกเชลล์จะทำให้เห็นได้ชัดว่าองค์ประกอบของ \vec{H} ถูกล้อมรอบด้วยองค์ประกอบของสนามไฟฟ้า \vec{E} สี่ตัว (Ramesh, 2008; Taftlove, 2000)

ด้วยเหตุนี้ทำให้ชลล์ยีมีคุณสมบัติที่พิเศษที่ต่างจากชลล์แบบอื่น ซึ่งคุณสมบัตินี้ได้พิสูจน์แล้วว่าเป็นจริง (Taflove, 2000) ในการคำนวณโดยใช้ชลล์ของยีช่วยลดการใช้ทรัพยากรคอมพิวเตอร์เนื่องจากสนาม \vec{E} และ \vec{H} ไม่จำเป็นต้องคำนวณทุกหนทาง นั่นคือที่ไหนดีให้หนทางนี้จะคำนวณเพียงสนาม \vec{E} หรือ \vec{H} อย่างใดอย่างหนึ่งก็เพียงพอแล้ว

2.1.4 การหาชุดสมการผลต่างสืบเนื่องเชิงเวลา

เมื่อใช้การประมาณผลต่างแบบกึ่งกลางเทียบกับสเปชและเวลา ที่มีความแม่นยำอันดับที่สองของ δx และ δt ตามลำดับ เขียนเป็นสมการ (Reader, 2000; Taflove, 2000) ได้ดังนี้

$$\frac{\partial F^n(i,j,k)}{\partial x} = \frac{F^n\left(i+\frac{1}{2},j,k\right) - F^n\left(i-\frac{1}{2},j,k\right)}{\delta} + O(\delta^2) \quad (5)$$

$$\frac{\partial F^n(i,j,k)}{\partial t} = \frac{F^{n+\frac{1}{2}}(i,j,k) - F^{n-\frac{1}{2}}(i,j,k)}{\delta t} + O(\delta t^2) \quad (6)$$

โดยที่สเปชมีความสมมาตรและเป็นแลตทิซ (lattice) สี่เหลี่ยมดังนั้นให้

$$(i, j, k) = (i\delta x, j\delta y, k\delta z) \quad (7)$$

และแทนฟังก์ชันของสเปชและเวลาได้เป็น

$$F^n(i, j, k) = F(i\delta x, j\delta y, k\delta z) \quad (8)$$

โดยที่ $\delta x = \delta y = \delta z$ คือ สเปชที่เพิ่มขึ้นในทิศ x, y และ z และ i, j, k และ n เป็นจำนวนเต็ม

จากสมการสมการที่ (5) และ (6) และสมการที่ (3.1) ถึงสมการที่ (3.6) ร่วมกับตัวแหน่งบนชลล์ในภาพที่ 1 จะสามารถเขียนชุดสมการผลต่างสืบเนื่องเชิงเวลาได้ดังนี้

$$\begin{aligned} H_x^{n+1}\left(i-\frac{1}{2}, j+1, k+1\right) \\ = H_x^n\left(i-\frac{1}{2}, j+1, k+1\right) \\ + \left(\frac{\delta t}{\mu(i-\frac{1}{2}, j+1, k+1)}\right) \left[\begin{array}{c} \frac{E_y^{n+1/2}\left(i-\frac{1}{2}, j+1, k+\frac{3}{2}\right) - E_y^{n+1/2}\left(i-\frac{1}{2}, j+1, k+\frac{1}{2}\right)}{\delta z} \\ - \frac{E_z^{n+1/2}\left(i-\frac{1}{2}, j+\frac{3}{2}, k+1\right) - E_z^{n+1/2}\left(i-\frac{1}{2}, j+\frac{1}{2}, k+1\right)}{\delta y} \end{array} \right] \end{aligned} \quad (9.1)$$

$$H_y^{n+1}\left(i, j+\frac{1}{2}, k+1\right) = H_y^n\left(i, j+\frac{1}{2}, k+1\right) + \left(\frac{\delta t}{\mu(i, j+\frac{1}{2}, k+1)}\right) \left[\begin{array}{c} \frac{E_z^{n+1/2}\left(i+\frac{1}{2}, j+\frac{1}{2}, k+1\right) - E_z^{n+1/2}\left(i-\frac{1}{2}, j+\frac{1}{2}, k+1\right)}{\delta x} \\ - \frac{E_x^{n+1/2}\left(i, j+\frac{1}{2}, k+\frac{3}{2}\right) - E_x^{n+1/2}\left(i, j+\frac{1}{2}, k+\frac{1}{2}\right)}{\delta z} \end{array} \right] \quad (9.2)$$

$$H_z^{n+1}\left(i, j+1, k+\frac{1}{2}\right) = H_z^n\left(i, j+1, k+\frac{1}{2}\right) + \left(\frac{\delta t}{\mu(i, j+1, k+\frac{1}{2})}\right) \left[\begin{array}{c} \frac{E_x^{n+1/2}\left(i, j+\frac{3}{2}, k+\frac{1}{2}\right) - E_x^{n+1/2}\left(i, j+\frac{1}{2}, k+\frac{1}{2}\right)}{\delta y} \\ - \frac{E_y^{n+1/2}\left(i+\frac{1}{2}, j+1, k+\frac{1}{2}\right) - E_y^{n+1/2}\left(i-\frac{1}{2}, j+1, k+\frac{1}{2}\right)}{\delta x} \end{array} \right] \quad (9.3)$$

$$\begin{aligned} E_x^{n+1/2}\left(i, j+\frac{1}{2}, k+\frac{1}{2}\right) \\ = \left[\begin{array}{c} 1 - \frac{\sigma\left(i, j+\frac{1}{2}, k+\frac{1}{2}\right)\delta t}{2\varepsilon\left(i, j+\frac{1}{2}, k+\frac{1}{2}\right)} \\ \frac{\sigma\left(i, j+\frac{1}{2}, k+\frac{1}{2}\right)\delta t}{1 + \frac{\sigma\left(i, j+\frac{1}{2}, k+\frac{1}{2}\right)\delta t}{2\varepsilon\left(i, j+\frac{1}{2}, k+\frac{1}{2}\right)}} \end{array} \right] E_x^{n-\frac{1}{2}}\left(i, j+\frac{1}{2}, k+\frac{1}{2}\right) \\ + \left(\begin{array}{c} \frac{\delta t}{\varepsilon\left(i, j+\frac{1}{2}, k+\frac{1}{2}\right)} \\ 1 + \frac{\sigma\left(i, j+\frac{1}{2}, k+\frac{1}{2}\right)\delta t}{2\varepsilon\left(i, j+\frac{1}{2}, k+\frac{1}{2}\right)} \end{array} \right) \left[\begin{array}{c} \frac{H_z^n\left(i, j+1, k+\frac{1}{2}\right) - H_z^n\left(i, j, k+\frac{1}{2}\right)}{\delta y} \\ - \frac{H_y^n\left(i, j+\frac{1}{2}, k+1\right) - H_y^n\left(i, j+\frac{1}{2}, k+\frac{1}{2}\right)}{\delta z} \end{array} \right] \end{aligned} \quad (9.4)$$

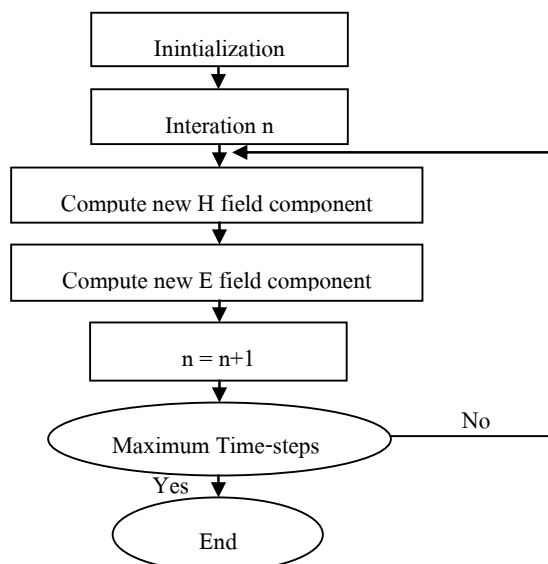
$$\begin{aligned}
E_y^{n+1/2}(i - \frac{1}{2}, j + 1, k + \frac{1}{2}) \\
= \left[1 - \frac{\sigma(i - \frac{1}{2}, j + 1, k + \frac{1}{2}) \delta t}{2\varepsilon(i - \frac{1}{2}, j + 1, k + \frac{1}{2})} \right] E_y^{n-1/2}(i - \frac{1}{2}, j + 1, k + \frac{1}{2}) \\
+ \frac{\frac{\delta t}{\varepsilon(i - \frac{1}{2}, j + 1, k + \frac{1}{2})}}{1 + \frac{\sigma(i - \frac{1}{2}, j + 1, k + \frac{1}{2}) \delta t}{2\varepsilon(i - \frac{1}{2}, j + 1, k + \frac{1}{2})}} \left[\frac{H_x^n(i - \frac{1}{2}, j + 1, k + 1) - H_x^n(i - \frac{1}{2}, j + 1, k)}{\delta z} \right. \\
\left. - \frac{H_z^n(i, j + 1, k + \frac{1}{2}) - H_z^n(i - 1, j + 1, k + \frac{1}{2})}{\delta x} \right]
\end{aligned} \tag{9.5}$$

$$\begin{aligned}
E_z^{n+1/2}(i - \frac{1}{2}, j + \frac{1}{2}, k + 1) \\
= \left[1 - \frac{\sigma(i - \frac{1}{2}, j + \frac{1}{2}, k + 1) \delta t}{2\varepsilon(i - \frac{1}{2}, j + \frac{1}{2}, k + 1)} \right] E_z^{n-1/2}(i - \frac{1}{2}, j + \frac{1}{2}, k + 1) \\
+ \left(\frac{\frac{\delta t}{\varepsilon(i - \frac{1}{2}, j + \frac{1}{2}, k + 1)}}{1 + \frac{\sigma(i - \frac{1}{2}, j + \frac{1}{2}, k + 1) \delta t}{2\varepsilon(i - \frac{1}{2}, j + \frac{1}{2}, k + 1)}} \right) \left[\frac{H_y^n(i, j + \frac{1}{2}, k + 1) - H_y^n(i - 1, j + \frac{1}{2}, k + 1)}{\delta x} \right. \\
\left. - \frac{H_x^n(i - \frac{1}{2}, j + 1, k + 1) - H_x^n(i - \frac{1}{2}, j, k + 1)}{\delta y} \right]
\end{aligned} \tag{9.6}$$

จากสมการที่ (9.1) ถึง (9.6) แสดงค่าองค์ประกอบของสนามไฟฟ้าและสนามแม่เหล็กของแต่ละตำแหน่งที่เวลาต่างๆ

2.2 กระบวนการหาผลเฉลยด้วยวิธีผลต่างสืบเนื่องเชิงเวลา

การหาผลเฉลยของสนามแม่เหล็กไฟฟ้าใน Meep ได้ใช้วิธีผลต่างสืบเนื่องเชิงเวลาซึ่งสรุปเป็นโดยกรรมการทำงานได้ดังนี้



ภาพที่ 2 ไดอะแกรมการทำงานพื้นฐานของวิธีผลต่างสืบเนื่องเชิงเวลา

จากภาพที่ 2 อธิบายขั้นตอนการทำงานได้ดังต่อไปนี้

Initialization: ที่เวลา $t = 0$ ให้สนามทั้ง E และ H เป็น

0 และให้ค่าเริ่มต้นคุณสมบัติของวัสดุ (μ, ϵ, σ)

Iteration: จำนวน n ครั้งในการทำงาน

Compute new H field component values จะมีการปรับปรุงค่าดังนี้

- ทุกๆ ครั้งของช่วงเวลาที่เพิ่มขึ้น สนามแม่เหล็ก H แต่ละองค์ประกอบจะมีการปรับปรุงค่าตัวมันเอง กล่าวคือคำนวณสนามแม่เหล็กสำหรับทุกการเพิ่มขึ้นของพื้นที่ทั้งหมดของโดเมน

Compute new E field component values จะมีการปรับปรุงค่าดังนี้

- ทุกๆ ครั้งของช่วงเวลาที่เพิ่มขึ้น สนามแม่เหล็ก E แต่ละองค์ประกอบจะมีการปรับปรุงค่าตัวมันเอง กล่าวคือคำนวณสนามไฟฟ้าสำหรับทุกการเพิ่มขึ้นของพื้นที่ทั้งหมดของโดเมน

Increment $n = n+1$ เป็นการเพิ่มจำนวนครั้งในการทำงาน

Maximum Time-step? ตรวจสอบว่ามีการทำงานถึงค่าสุดท้ายของช่วงเวลาแล้วหรือไม่ ถ้ายังไม่ถึงค่าสุดท้ายให้วนกลับไปทำขั้นตอน 3 จนกว่าจะถึงค่าสุดท้ายแล้วจบการทำงาน

2.3 ความเสถียรภาพของผลเฉลย

การคำนวณหาผลเฉลยของสนามแม่เหล็กไฟฟ้าต้องคำนึงถึงความเสถียรภาพ (Stability) วิธีการวิเคราะห์ความเสถียรของวิธีผลต่างสีบเนื่องจากเวลาเรียกว่า การวิเคราะห์ความถี่เชิงซ้อน (Complex Frequency Analysis) โดยมีเกณฑ์ความเสถียรของ Courant คือ

$$\Delta t \leq \frac{1}{c \sqrt{\frac{1}{(\Delta x)^2} + \frac{1}{(\Delta y)^2} + \frac{1}{(\Delta z)^2}}} \equiv \Delta t_{max} \quad (10)$$

เกณฑ์ความเสถียรของ Courant กำหนดขนาดของช่วงเวลา (Time Step) เพื่อให้การจำลองมีเสถียรภาพ ด้วยอย่างเช่น การเลือกขนาด $\Delta t = \Delta t_{max}$ สำหรับการจำลองนำไปสู่ความไม่แน่นอนได้ เนื่องจากมีข้อผิดพลาดในการตัดตัวเลขน้อยๆ ที่เกิดขึ้นในคอมพิวเตอร์ สำหรับกรณีพิจารณากริดที่เป็นเซลล์ลูกบาศก์ โดยให้ $\Delta x = \Delta y = \Delta z = \Delta$ และ c คือความเร็วแสงในสูญญากาศ เมื่อแทนค่าเหล่านี้ในสมการที่ (10) จะมีค่าแฟคเตอร์ความเสถียรภาพ Courant คือ

$$S = \frac{c\Delta t}{\Delta} = \frac{1}{\sqrt{3}} \quad (\text{Sullivan, 1996; Taflove, 2000})$$

ใน Meep ได้กำหนดค่าความเสถียรไว้ดังนี้ ถ้ากริดมีความละเอียด Δx และ ช่วงเวลา Δt จะได้ความสัมพันธ์ $\Delta t = S\Delta x$ การคำนวณใน Meep จะไม่มีหน่วย (Dimensionless) สำหรับค่าคงที่ต่างๆ จะมีค่าเป็น 1 (Unity) และ S คือแฟคเตอร์ Courant ซึ่งต้องสอดคล้องกับสมการที่ (11) (Steven G. Johnson, 2009a)

$$S < \frac{n_{min}}{\sqrt{\# \text{dimensions}}} \quad (11)$$

โดยที่ n_{min} คือค่าดัชนีหักเหต่ำสุด (ปกติเป็น 1 คือ อากาศ) $\# \text{dimensions}$ มีค่าตั้งแต่ 1 ถึง 3 ซึ่งหมายถึง 1D, 2D, 3D ดังนั้นสมการที่ (11) เป็นเงื่อนไขความเสถียรที่ pragaku ใน Meep ซึ่งจะสอดคล้องกับสมการที่ (10) นั้นคือในการจำลองด้วย Meep ได้คำนึงถึงความมีเสถียรของการคำนวณเข่นกัน

3. โครงสร้างการใช้งาน Meep

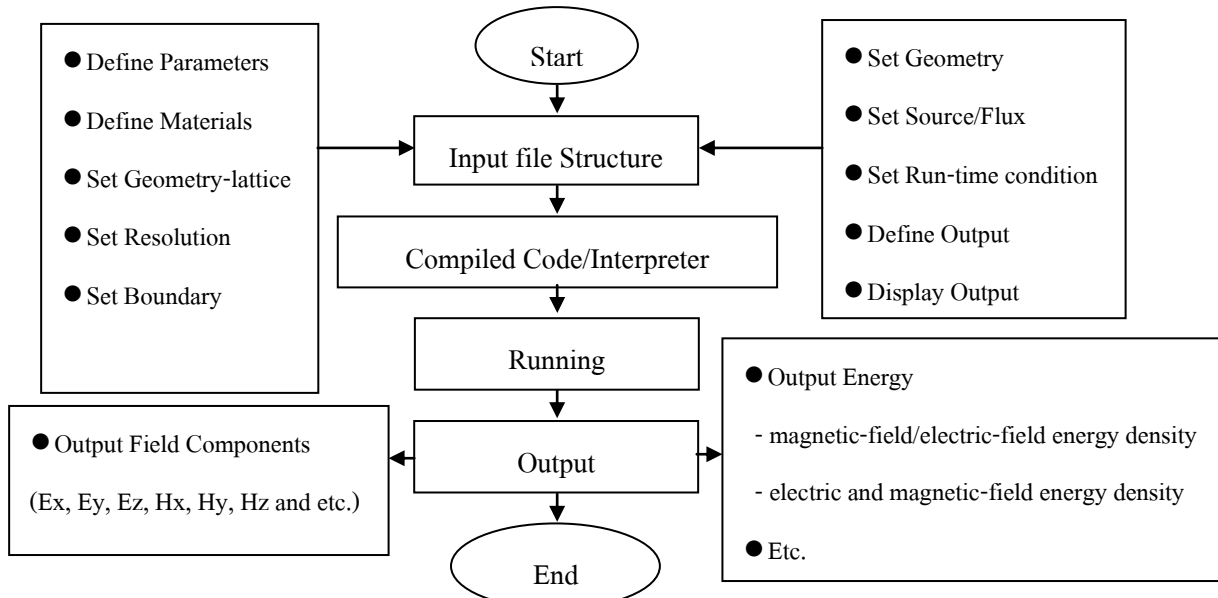
การใช้งาน Meep นอกจากมีความเข้าใจทางคณิตศาสตร์แล้ว ต้องเข้าใจภาษาในการพัฒนาโปรแกรมภาษาใดภาษาหนึ่ง ได้แก่ ภาษา C/C++ ภาษา Scheme หรือ ภาษาไพทอน (Python) การเข้าใจภาษาการช่วยให้พัฒนาโปรแกรมที่จะใช้งาน Meep ทำได้เร็วขึ้น สำหรับหลักการใช้งาน Meep เป็นต้นสามารถสรุปเป็นขั้นตอนได้ดังนี้

จากภาพที่ 3 แสดงขั้นตอนการใช้งาน Meep เป็นต้นประกอบด้วยขั้นตอนหลักๆ ดังนี้ และรายละเอียดการใช้งาน (Steven G. Johnson, 2009a)

Input file structure หมายถึงไฟล์ในการพัฒนาโปรแกรม ควรจะประกอบด้วยอะไรมาก็ได้ ดูได้จากโปรแกรม

Compile code หลังจากที่เตรียมไฟล์ตามโครงสร้างของแต่ละภาษาเรียบร้อยแล้ว ให้นำไฟล์ดังกล่าวมาคอมไพล์ ด้วยหลักการคอมไพล์ให้สอดคล้องกับภาษาที่พัฒนา

Running เป็นการนำไฟล์ที่ได้จากการคอมไпал์หรือจาก interpreter มารันให้ทำงานตามที่ระบุไว้ในโค้ด

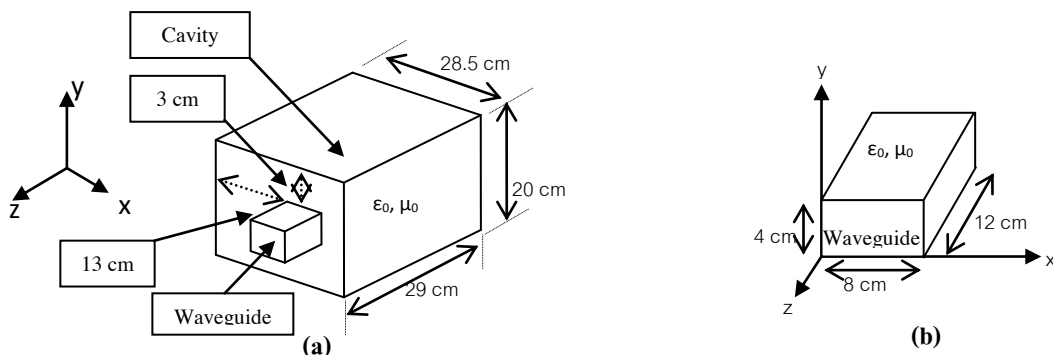


ภาพที่ 3 ไดอะแกรมการใช้งาน Meep เป็นต้น

Output ผลลัพธ์ที่ได้ ผู้ใช้สามารถกำหนดผลลัพธ์ที่ต้องการ ออกแบบได้ เช่น ผลลัพธ์ค่าของสนามแม่เหล็กไฟฟ้าแต่ละส่วนประกอบ หรือแสดงค่าพลังงานของสนามแม่เหล็กไฟฟ้า

การจำลองคลื่นไมโครเวฟในห้องคลื่นมัลติโหมด

คลื่นไมโครเวฟในห้องคลื่นแบบมัลติโหมดถูกนำมาประยุกต์ใช้งานด้านต่างๆ เช่น การอบแห้ง การฆ่าเชื้อโรค เป็นต้น การเข้าใจการเข้ารูปแบบของสนามไฟฟ้าจึงมีความจำเป็น เพื่อช่วยให้การออกแบบห้องคลื่นเหมาะสมกับการประยุกต์ใช้งาน นอกจากนี้ Meep เป็นซอฟแวร์ที่ใช้ในการศึกษาคลื่นแม่เหล็กไฟฟ้าได้อย่างดี สำหรับการจำลองครั้งนี้ ใช้ Meep จำลองปัญหาการกระจายตัวของคลื่นไมโครเวฟที่เกิดขึ้นภายในห้องคลื่น โดยใช้ความถี่ 2.45 GHz และใช้คอมพิวเตอร์รุ่น MI-XQ82R2SR0A4 ของ Lemel โดยมีรายละเอียดของอุปกรณ์หลักคือ CPU: Intel Core 2 Quad



ภาพที่ 4 (a) ขนาดของห้องคลื่นซึ่งต่อ กับห้องคลื่นสี่เหลี่ยม และ (b) ขนาดของห้องคลื่นสี่เหลี่ยม

การกำหนดเงื่อนไขขอบเขตของระบบนี้ เนื่องจากที่ผนังของห้องคลื่นสี่เหลี่ยมและห้องคลื่นเป็นโลหะที่ดี ดังนั้นเงื่อนไขขอบเขตที่ผนังสนามไฟฟ้าในแนวสัมผัสกับผนังดังกล่าวต้องเป็น 0 และสนามแม่เหล็กในแนวตั้งจากกับผนังก็เป็น 0 เช่นกันหรือ เป็นไปตามสมการ

$$E_t = 0 \text{ หรือ } \hat{n} \times \vec{E} = 0 \text{ และ } \hat{n} \cdot \vec{H} = 0$$

และมีค่าความถี่ในการคำนวณ $\Delta t \leq \frac{1}{c \sqrt{\frac{1}{(\Delta x)^2} + \frac{1}{(\Delta y)^2} + \frac{1}{(\Delta z)^2}}}$

โดยที่ $\Delta x = \Delta y = \Delta z = 0.5 \text{ cm}$ และ $\Delta t = 8.33 \times 10^{-12}$ หรือ 8.33 ps

สำหรับแหล่งกำเนิดคลื่น (Source) หรือแมgnétron จะเป็นตัวให้กำเนิดคลื่นแล้วส่งคลื่นผ่านห้องคลื่นไปยังห้องคลื่น แต่เพื่อลดความซับซ้อนในการคำนวณครั้งนี้ ได้กำหนดให้แหล่งกำเนิดคลื่นเป็นคลื่นแบบต่อเนื่อง (Continuous Wave) โดยแหล่งกำเนิดคลื่นใน Meep ได้กำหนดแหล่งกำเนิดของกระแส (Current Source) ซึ่งแทนได้ด้วยฟังก์ชันทางคณิตศาสตร์คือ $J(x, t) = A(x) f(t)$ โดยที่ $A(x)$ เป็นฟังก์ชันแทนตำแหน่งของแหล่งกำเนิด และ $f(t) = e^{-i\omega t}$ เป็นฟังก์ชันขึ้นกับเวลาโดยที่ $\omega = 2\pi f$ และ f คือความถี่

Processor Q8200 (2.33 GHz, 4MB L2 Cache, 1333MHz FSB) และ RAM: 4 GB และระบบปฏิบัติการลีนูกซ์ (Ubuntu 9.10) สำหรับ COMSOL ติดตั้งอยู่บนเครื่องบริการของศูนย์กริดมหาวิทยาลัยสงขลานครินทร์ประกอบด้วยอุปกรณ์ต่างๆ ได้แก่ CPU: Intel Xeon Processor X5680 (Six-Core, 3.33GHz) จำนวน 2 หน่วยประมวลผล (12 คอร์), RAM 48 GB และหน่วยเก็บข้อมูล (Storage) ขนาด 2 TB บนระบบปฏิบัติการวินโดว์ (Windows 2008 R2) (โครงการจัดตั้งศูนย์กริดมหาวิทยาลัยสงขลานครินทร์, 2011)

1. แบบจำลองในการคำนวณ

แบบจำลองที่ใช้ในการศึกษาครั้งนี้เป็นแบบไมโครเวฟที่ใช้อยู่ตามบ้านเรือน และแบบจำลองนี้มีขนาดห้องคลื่น (Cavity) (Geedipalli, Rakesh, & Datta, 2007 และขนาดของห้องคลื่นสี่เหลี่ยม (Rectangular Waveguide) ดังภาพที่ 4 และทุกด้านของผนังเป็นโลหะที่ดี (Perfect Electrical Conductor; PEC)

Source) ซึ่งแทนได้ด้วยฟังก์ชันทางคณิตศาสตร์คือ $J(x, t) = A(x) f(t)$ โดยที่ $A(x)$ เป็นฟังก์ชันแทนตำแหน่งของแหล่งกำเนิด และ $f(t) = e^{-i\omega t}$ เป็นฟังก์ชันขึ้นกับเวลาโดยที่ $\omega = 2\pi f$ และ f คือความถี่

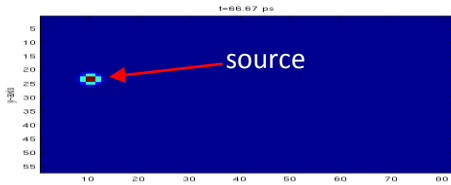
2. ผลการจำลองและวิเคราะห์ผล

ผลที่ได้จากการจำลองการกระจายตัวของคลื่นในห้องคลื่น และห้องคลื่นจะแบ่งออกเป็น 2 ส่วนคือ ลักษณะการกระจายตัวของคลื่นขณะชั่วครู่ (Transient) และเมื่อคลื่นเข้าสู่ภาวะคงตัว (Steady State) ซึ่งแสดงผลได้ดังนี้

2.1 การกระจายตัวของคลื่นขณะชั่วครู่ (Transient wave propagation)

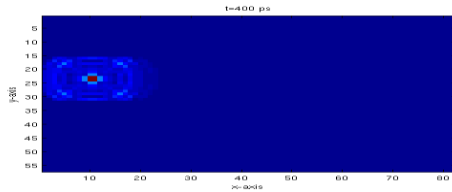
ในกรณีนี้จะแสดงให้เห็นตั้งแต่คลื่นแรร์กระเจิดคลื่นออกจากแหล่งกำเนิด กระจายไปทั่วห้องคลื่นแล้วเข้าสู่ห้องคลื่นโดยแสดงผลบนระนาบ xz ที่ $y = 16.5 \text{ cm}$ และที่เวลาต่างๆ คลื่นจะมีการกระจายตัวดังภาพที่ 5

t=66.7 ps



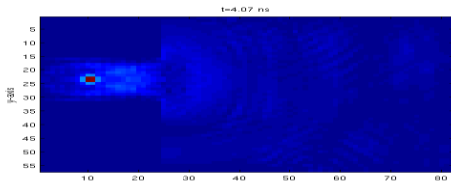
(a)

t=400 ps

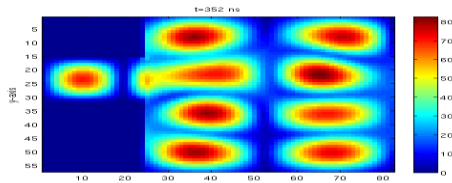


(b)

t = 4.1 ns



steady state t = 352 ns



ภาพที่ 5 การกระจายตัวของสนามไฟฟ้าที่เวลาต่างๆ

ภาพที่ 5 แสดงการกระจายตัวของสนามไฟฟ้าที่เวลาต่างๆ กล่าวคือ ภาพที่ 5(a) แสดงคลื่นที่เวลา 66.7 ps เป็นเวลาที่คลื่นกระจายตัวออกจากแหล่งกำเนิด (source) เมื่อเวลาผ่านไปจนกระทั่งประมาณ 400 ps ภาพที่ 5(b) คลื่นเริ่มกระจายทั่วทั่วทั้งห้องคลื่นและคลื่นเริ่มเข้าสู่ภาวะคงตัว (steady state) ที่เวลาประมาณ 352 ns ดังภาพที่ 5(d) คลื่นเริ่ม

2.2 การกระจายตัวของคลื่นเข้าสู่ภาวะคงตัว (Steady state)

ผลการจำลองเมื่อคลื่นเข้าสู่ภาวะคงตัวจะเกิดเป็นคลื่นนิ่ง เมื่อแยกพิจารณาเป็น 2 ส่วน คือ ส่วนของท่อน้ำคลื่นสีเหลืองและ ส่วนของห้องคลื่น ดังนี้

- ผลการจำลองท่อน้ำคลื่นสีเหลืองมุมฉาก

ท่อน้ำคลื่นสีเหลืองมุมฉากทำหน้าที่ในการนำพลังงานคลื่นไมโครเวฟแพร่กระจายเข้าไปยังห้องคลื่นตามทิศทางแกน z และ โหมดที่ใช้ในจำลองการส่งคลื่นเป็นโหมด TE₁₀ โดยมีส่วนประกอบของสนามเป็นไปตามสมการ (12) ถึง (15) และเมื่อใช้ Meep ในการจำลองจะได้ผลของสนามไฟฟ้าภายในท่อน้ำคลื่นสีเหลืองแสดงได้ดังภาพที่ 6

จากภาพที่ 6 แสดงรูปแบบของสนามไฟฟ้าที่เกิดขึ้นภายในท่อน้ำคลื่นสีเหลืองโหมด TE₁₀ ซึ่งถ้ามองในภาคตัดขวางหรือตามแนวแกน y สามารถแสดงได้ดังภาพที่ 7

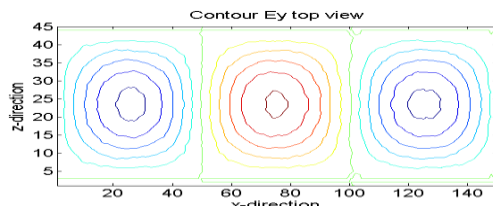
จากการที่ 7 แสดงองค์ประกอบของสนามไฟฟ้า Ey ซึ่งมีลักษณะเป็นครึ่งลูกคลื่นตามสมการ (20) และจากสมการดังกล่าวเมื่อพิจารณาที่ขอบเขตทั้งสองด้านที่ x = 0 และ x = a

$$H_z = H_0 \cos\left(\frac{\pi x}{a}\right) e^{-j\beta_{10}z} \quad (12)$$

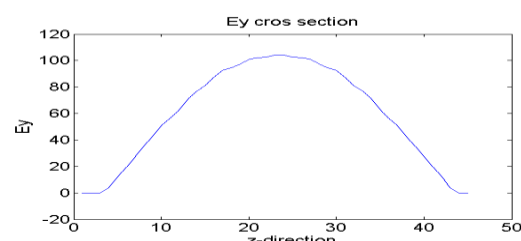
$$H_x = j \frac{\beta a H_0}{\pi} \sin\left(\frac{\pi x}{a}\right) e^{-j\beta_{10}z} \quad (13)$$

$$E_y = -\frac{j\omega\mu_0 a H_0}{\pi} \sin\left(\frac{\pi x}{a}\right) e^{-j\beta_{10}z} \quad (14)$$

$$E_x = H_y = 0 \quad (15)$$



ภาพที่ 6 สนามไฟฟ้าภายในท่อน้ำคลื่นสีเหลือง

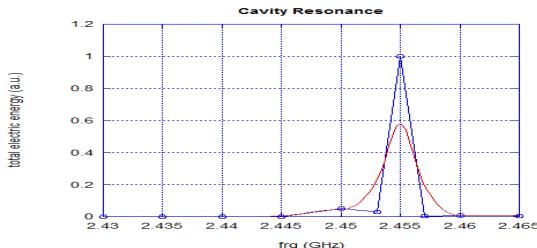


ภาพที่ 7 การกระจายสนามไฟฟ้าตามระยะ a โดยใช้ Meep

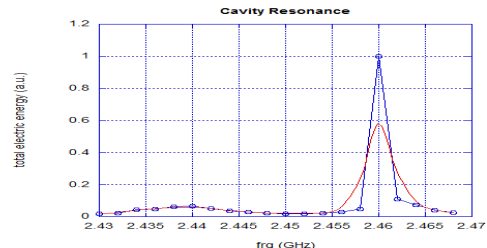
จะได้ว่าองค์ประกอบของสนามไฟฟ้า Ey เป็น 0 ซึ่งเป็นไปตามเงื่อนไขของเขตกรณฑ์ที่เป็นผนังโลหะ

- ผลการจำลองภายในห้องคลื่น

เมื่อคลื่นไมโครเวฟถูกส่งจากท่อน้ำคลื่นเข้ามาในห้องคลื่น คลื่นก็จะแพร่กระจายภายในห้องคลื่น ไปจนถึงขอบเขตของห้องคลื่น



(a) ใช้ Meep



(b) ใช้ COMSOL

ภาพที่ 8 ช่วงความถี่ของการสั่นพ้องภายในห้องคลื่น (a) (b) โดยใช้ Meep และ COMSOL

ซึ่งเป็นผังโลหะ ก็จะเกิดการสะท้อนของคลื่นขึ้นภายในห้องคลื่น และทำให้เกิดการซ้อนทับของคลื่นเกิดเป็นโหมดต่างๆ ภายในห้องคลื่นขึ้น ด้วยขนาดของห้องคลื่นที่แตกต่างกัน จะทำให้ความถี่ของการสั่นพ้องที่ต่างกันได้ และจำนวนโหมดที่เกิดขึ้นอาจต่างกันด้วย สำหรับความถี่ของการสั่นพ้องแสดงได้ดังภาพที่ 8

จากภาพที่ 8 แสดงกราฟความสัมพันธ์ระหว่างพลังงานรวมของสนามไฟฟ้าทั้งหมดที่ช่วงความถี่ต่างๆ ซึ่งแสดงให้เห็นว่า Meep และ COMSOL สามารถใช้ในการจำลองการสั่นพ้องภายในห้องคลื่นได้เหมือนกัน ภาพที่ 8(a) แสดงการจำลองด้วย Meep มีค่าความถี่การสั่นพ้องประมาณ 2.455 GHz และในภาพที่ 8(b) จำลองจาก COMSOL มีค่าความถี่การสั่นพ้องประมาณ 2.46 GHz จากการจำลองทั้งสองซอฟแวร์มีความคลาดเคลื่อนเพียงเล็กน้อยประมาณ 0.2% ซึ่งอยู่ในระดับที่ยอมรับได้ ความคลาดเคลื่อนที่เกิดขึ้นนี้น่าจะมาจากความละเอียดในการคำนวณ จึงทำให้ผลที่ได้แตกต่างออกไป

เมื่อนำค่าความถี่การสั่นพ้อง (Resonance Frequency) ที่ได้พิจารณาไว้กับสมการที่ (16) ซึ่งอธิบายถึงความถี่ของการสั่นพ้องกับโหมดต่างๆ ที่มีโอกาสเกิดขึ้นภายในห้องคลื่น ซึ่งได้ผลตามตารางที่ 1 และจากความสัมพันธ์ของการสั่นพ้อง ที่เกิดขึ้นในห้องคลื่นอธิบายได้ด้วยสมการที่ (16)

$$f_{mnp} = \frac{c}{2} \sqrt{\left(\frac{m}{a}\right)^2 + \left(\frac{n}{b}\right)^2 + \left(\frac{p}{d}\right)^2} \quad (16)$$

โดยที่ f_{mnp} คือ ความถี่เรโซนน์ของโหมด TE_{mnp} หรือ TM_{mnp} โดยที่ a, b และ d คือ ขนาดของห้องคลื่น เมื่อนำขนาดของด้านต่างๆ ตามภาพที่ 4 มาคำนวณความเป็นไปได้ของโหมดต่างๆ ที่เกิดการสั่นพ้องตามสมการที่ (16) แสดงได้ตามตารางที่ 1

จากตารางที่ 1 แสดงความถี่ของการสั่นพ้องที่โหมดต่างๆ เมื่อนำกราฟภาพที่ 8 เทียบกับตารางที่ 1 พบร่วมความถี่ที่ได้มีค่าใกล้เคียงกันซึ่งมีค่าประมาณ 2.46 GHz และโหมดที่เกิดขึ้นคือโหมด

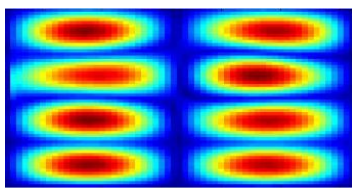
ตารางที่ 1 ความถี่จะเป็นของโหมดต่างๆ ที่อาจเกิดขึ้นในห้องคลื่น

m	n	p	f (GHz)	m	n	p	f (GHz)
2	1	1	1.38	2	4	1	2.46
2	2	1	1.66	2	5	1	2.93
2	3	1	2.03	2	6	1	3.41

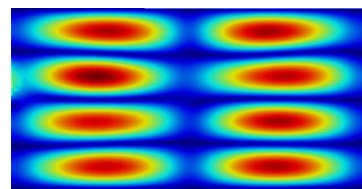
TE_{241} ดังนั้นรูปแบบของสนามไฟฟ้า (Electric Field Pattern) ในแนวแกน x มีคลื่น 2 ครึ่งลูกคลื่น แนวแกน y มีคลื่น 4 ครึ่งลูกคลื่น และแนวแกน z มีคลื่นครึ่งลูกคลื่น แสดงในภาพที่ 9 และ 10

เมื่อพิจารณารูปแบบของสนามไฟฟ้าที่เกิดขึ้นภายในห้องคลื่นบนระนาบ xy จะได้ผลการจำลองดังภาพที่ 9 และบนระนาบ yz ดังภาพที่ 10 ตามลำดับ ในการตรวจสอบความถูกต้องของผลการจำลอง ได้ใช้ COMSOL ซึ่งเป็นซอฟแวร์เชิงพาณิชย์ที่ได้รับการยอมรับอย่างแพร่หลายมาเปรียบเทียบร่วมกับการใช้ Meep สามารถแสดงผลที่ได้ดังภาพที่ 9 และ 10

จากภาพที่ 9 และ 10 โหมดที่เกิดขึ้นคือโหมด TE_{241} โดยที่ $m = 2, n = 4$ และ $p = 1$ เมื่อพิจารณาบนระนาบ xy จากภาพที่ 9 จะเห็นว่าในแนวแกน x มีคลื่น 2 ครึ่งลูกคลื่น ในแนวแกน y มีคลื่น 4 ครึ่งลูกคลื่น และเมื่อพิจารณาในระนาบ yz จากภาพที่ 10 ตามแนวแกน z มีคลื่นครึ่งลูกคลื่น ดังนั้นจากการจำลองที่ได้จากการจำลองด้วย Meep หรือการจำลองด้วย COMSOL ผลที่ได้มีความสอดคล้องกัน ทั้งความถี่ของการสั่นพ้องซึ่งมีค่าใกล้เคียงกันมาก รวมทั้งโหมดที่ได้จากการคำนวณจากความถี่ของการสั่นพ้อง เมื่อพิจารณาที่รูปแบบของสนามไฟฟ้าที่ได้ต่างกัน สอดคล้องกัน ซึ่งสามารถยืนยันได้ว่า Meep ให้ผลการจำลองแล้วที่มีความน่าเชื่อถือ และมีประสิทธิภาพในการคำนวณ ที่สำคัญ

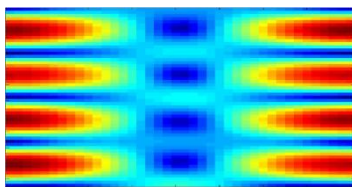


(a)

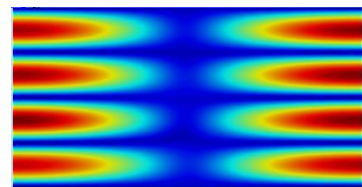


(b)

ภาพที่ 9 สนามไฟฟ้าบนระนาบ xy เมื่อ $m = 2$ และ $n = 4$ จำลองโดยใช้ (a) ใช้ Meep และ (b) ใช้ COMSOL ที่ $z = 17.5$ cm



(a)



(b)

ภาพที่ 10 สนามไฟฟ้าใน 2 มิติ บนระนาบ yz เมื่อ $n = 4$ และ $p = 1$ จำลองโดย (a) ใช้ Meep และ (b) ใช้ COMSOL ที่ $x = 23$ cm

เป็นซอฟแวร์ฟรี สามารถเข้าถึงโค้ดได้และนำไปประยุกต์ใช้งานด้านอื่นๆ ทางคลื่นแม่เหล็กไฟฟ้าได้เป็นอย่างดี

สรุป

Meep เป็นซอฟแวร์ฟรีที่ใช้สำหรับจำลองเพื่อหาผลเฉลยของคลื่นแม่เหล็กไฟฟ้าในปัญหาต่างๆ ได้มีความยืดหยุ่นในการใช้งานไม่เสียค่าใช้จ่าย ที่สำคัญมีความแม่นยำสูง ซึ่งเห็นได้จากการศึกษาคลื่นในห้องคลื่นแบบมัลติโหมด พบร่วมผลที่ได้จากการจำลองด้วย Meep ซึ่งเป็นซอฟแวร์ฟรี การจำลองด้วย COMSOL ซึ่งเป็นซอฟแวร์เชิงพาณิชย์ และผลที่ได้จากการคำนวณมีความสอดคล้องกันดังนั้นผลที่ได้นี้ยืนยันได้ว่า Meep เป็นซอฟแวร์ฟรีที่ให้ผลการจำลองที่ถูกต้องและสามารถนำไปประยุกต์ใช้งานเพื่อหาผลเฉลยทางด้านคลื่นแม่เหล็กไฟฟ้าอื่นๆ ได้อย่างมีประสิทธิภาพเทียบเท่า COMSOL

กิตติกรรมประกาศ

ขอขอบคุณโครงการจัดตั้งศูนย์กริดมหาวิทยาลัยสงขลานครินทร์ มหาวิทยาลัยสงขลานครินทร์ วิทยาเขตหาดใหญ่ ในการใช้ซอฟแวร์ COMSOL โครงการ JSTP สังกัดสำนักงานพัฒนาวิทยาศาสตร์และเทคโนโลยีแห่งชาติ (สวทช.) ห้องปฏิบัติการพลาสม่าเพื่อการประยุกต์ทางกสิกรรม มหาวิทยาลัยลักษณ์ และศูนย์ความเป็นเลิศด้านฟิสิกส์ (ThEP Center) ที่ช่วยอนุเคราะห์เงินทุนและสถานที่ในการทำวิจัย

เอกสารอ้างอิง

- ผุดุงศักดิ์ รัตนเดโช. (2551). พื้นฐานการทำการวิเคราะห์ร่องด้วยโมเดลเวฟ. กทม.: มหาวิทยาลัยธรรมศาสตร์.
- โครงการจัดตั้งศูนย์กริดมหาวิทยาลัยสงขลานครินทร์. (2011). Welcome to SIDA Cluster. สืบคันเมื่อ 22 กันยายน 2554, from <http://sida.psu.ac.th/acquia-drupal/>
- A. Bojovschi, W. S. T. R., and A. K. L. Wong. (2010). Electromagnetic field intensity generated by partial discharge in high voltage insulating materials. *Progress In Electromagnetics Research*, 104, 167-182.
- Geedipalli, S. S. R., Rakesh, V., & Datta, A. K. (2007). Modeling the heating uniformity contributed by a rotating turntable in microwave ovens. *Journal of Food Engineering*, 82(3), 359-368.
- Higgins, J. A., Kernan, F., & Pejcincovic, B. (2011, 23-27 May 2011). Application of open-source MEEP software to Terahertz radiation waveguide problems. Paper presented at the MIPRO, 2011 Proceedings of the 34th International Convention.
- Kane, Y. (1966). Numerical solution of initial boundary value problems involving maxwell's equations in isotropic media. *Antennas and Propagation, IEEE Transactions on*, 14(3), 302-307.

- Liu, K., Yuan, X. D., Ye, W. M., & Zeng, C. (2009). Air waveguide in a hybrid 1D and 2D photonic crystal hetero-structure. *Optics Communications*, 282(22), 4445-4448.
- Oskooi, A. F., Roundy, D., Ibanescu, M., Bermel, P., Joannopoulos, J. D., & Johnson, S. G. (2010). Meep: A flexible free-software package for electromagnetic simulations by the FDTD method. *Computer Physics Communications*, 181(3), 687-702.
- Ramesh, G. (2008). *Analytical and Computational Methods in Electromagnetics*: ARTECH HOUSE.
- Reader, T. V. C. T. C. a. H. C. (2000). *Understanding Microwave Heating Cavities*. USA: ARTECH HOUSE.
- Steven G. Johnson, J. D. J., & Marin Soljačić. (2009a, 2009, October 2). Meep. Retrieved September, 22, 2011, from <http://ab-initio.mit.edu/wiki/index.php/Meep>
- Steven G. Johnson, J. D. J., & Marin Soljačić. (2009b, 16 November 2009). Meep Introduction. from http://ab-initio.mit.edu/wiki/index.php/Meep_Introduction
- Sullivan, D. M. (1996). Exceeding the Courant condition with the FDTD method. *Microwave and Guided Wave Letters, IEEE*, 6(8), 289.
- Taflove, S. C. H. A. (2000). *Computational Electrodynamics: The Finite-Difference Time-Domain Method* (2 ed.). London: Artech: Norwood.
- Geva, T. (2006). Magnetic resonance imaging: historical perspective. *J Cardiovasc Magn Reson*, 8(4), 573-580.
- Idris, A., Khalid, K., & Omar, W. (2004). Drying of silica sludge using microwave heating. *Applied Thermal Engineering*, 24(5–6), 905-918.
- Ramesh, G. (2008). *Analytical and Computational Methods in Electromagnetics*: ARTECH HOUSE.
- Reader, T. V. C. T. C. a. H. C. (2000). *Understanding Microwave Heating Cavities*. USA: ARTECH HOUSE.
- Taflove, S. C. H. A. (2000). *Computational Electrodynamics: The Finite-Difference Time-Domain Method* (2 ed.). London: Artech: Norwood.